

3次元イジング模型の高温展開

北里大学

大阪府立高専

藤原俊朗

有末宏明

1. はじめに

2. 結果

3. 有限格子法と新アルゴリズム

4. C P - P A C S での計算

5. まとめと展望

1. はじめに

- スピン統計系への解析的なアプローチ
 - e.g. 高温展開・低温展開・ ϵ -展開
 - 数値シミュレーションと相補的な関係
 - 定性的 & 定量的

e.g. 3次元イジング模型(単純立方格子)

- 臨界点
 - Monte Carlo シミュレーション
 - $\beta = 0.2216546(1)$
 - $256 * 256 * 256$, クラスター・アルゴリズム
 - Blöte *et al.* (1999)
 - $\beta = 0.2216595(15)$
 - $400 * 400 * 400$, 非平衡緩和法
 - Ito *et al.* (2000)
- 高温展開(帶磁率)
 - $\beta = 0.2216550(5)$ $N = 32$
- 帶磁率の臨界指数
 - Monte Carlo シミュレーション
 - $\gamma = 1.2353(25)$
 - 高温展開
 - $\gamma = 1.2370(2)$

● スピン統計系の高温展開・低温展開

◆ 2次元では

ダイアグラム法： 計算量 $\sim \exp(aN)$

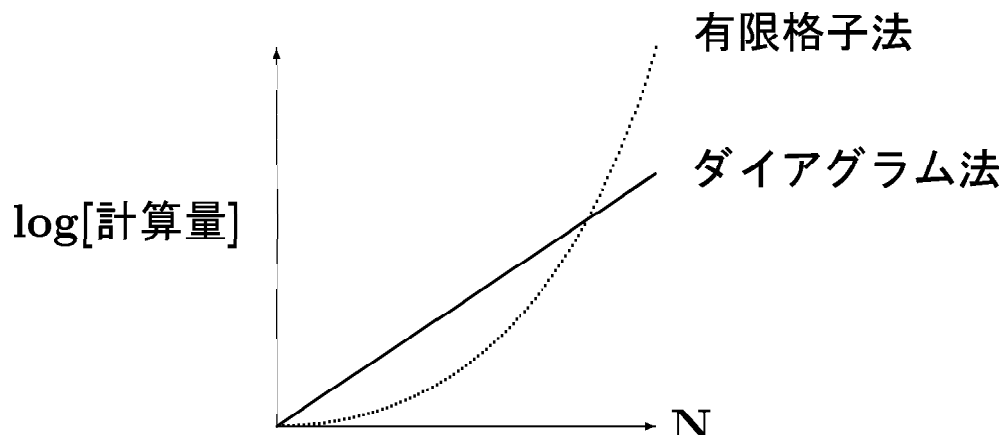
有限格子法： 計算量 $\sim \exp(bN)$

$$b \sim a/2$$

◆ 3次元では

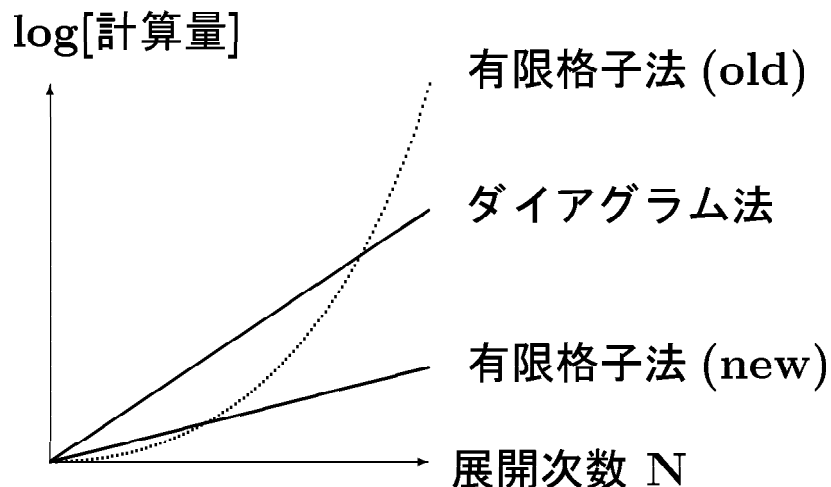
ダイアグラム法： 計算量 $\sim \exp(a'N)$

有限格子法： 計算量 $\sim \exp(b'N^2)$



↓
◇有限格子法の新アルゴリズム

$$\text{計算量} \sim \exp(cN)$$



◇3次元イジング模型の高温展開に適用

- ・自由エネルギー (比熱)

$N = 26$ (有限格子法 (old) 1994)

↓

$N = 44$ (workstation 2000)

$N = 46$ (CP-PACS 2001)

$N = 50$ (CP-PACS 2002 calculating)

- ・帯磁率

$N = 25$ (ダイアグラム法 2002)

↓

$N = 32$ (workstation 2002)

$N = 38$ (CP-PACS 2003 proposal)

2. 結果

• イジング模型

Hamiltonian

$$H = J \sum_{i,j} s_i s_j$$

分配関数

$$Z(\beta, \mu) = \sum_{\{s_i\}} \exp \left(\beta \sum_{i,j} s_i s_j + \mu \sum_i s_i \right)$$

$$\beta = J/kT$$

自由エネルギー

$$F = \log [Z(\beta, \mu = 0)]$$

磁率

$$\chi = \frac{\partial^2}{\partial \mu^2} \log [Z(\beta, \mu)]$$

ボルツマン因子

$$\exp (\beta s_i s_j) = \cosh (\beta) (1 + t s_i s_j)$$

$$t = \tanh (\beta) \cdots \text{展開パラメータ}$$

自由エネルギー密度 (/site)

$$f = 3 \cosh(\beta) + \sum_n a_n t^n$$

n	a_n
2	0
4	3
6	22
8	$375/2$
10	1980
12	24044
14	319170
16	$18059031/4$
18	$201010408/3$
20	$5162283633/5$
22	16397040750
24	266958797382
26	4437596650548 \uparrow 有限格子法 (old)
28	$525549581866326/7$ \downarrow 有限格子法 (new)
30	$6448284363491202/5$
32	$179577198475709847/8$
34	395251648062268272
36	$21093662188820520521/3$
38	126225408651399082182
40	$4569217533196761997785/2$
42	$291591287110968623857940/7$
44	$8410722262379235048686604/11$
46	14120314204713719766888210

帯磁率

n	a_n	
0	1	
1	6	
2	30	
3	150	
4	726	
5	3510	
6	16710	
7	79494	
8	375174	
9	1769686	
10	8306862	
11	38975286	
12	182265822	
13	852063558	↑ 有限格子法 (old)
14	3973784886	
15	18527532310	
16	86228667894	
17	401225368086	
18	1864308847838	
19	8660961643254	
20	40190947325670	
21	186475398518726	
22	864404776466406	
23	4006394107568934	
24	18554916271112254	
25	85923704942057238	↑ ダイアグラム法
26	397637244058624494	↓ 有限格子法 (new)
27	1839992653230056950	
28	8509528288325589438	
29	39350934581190850230	
30	181885145332015353030	
31	840628109226856546326	
32	3883554493872938687622	

◇級数の解析 (ratio method)

帶磁率

$$\chi \sim (\beta_c - \beta)^{-\gamma} [1 + \mu(\beta_c - \beta)^\Delta + \dots]$$

$\Delta \sim 0.5$: confluent singularity
(correction to scaling)

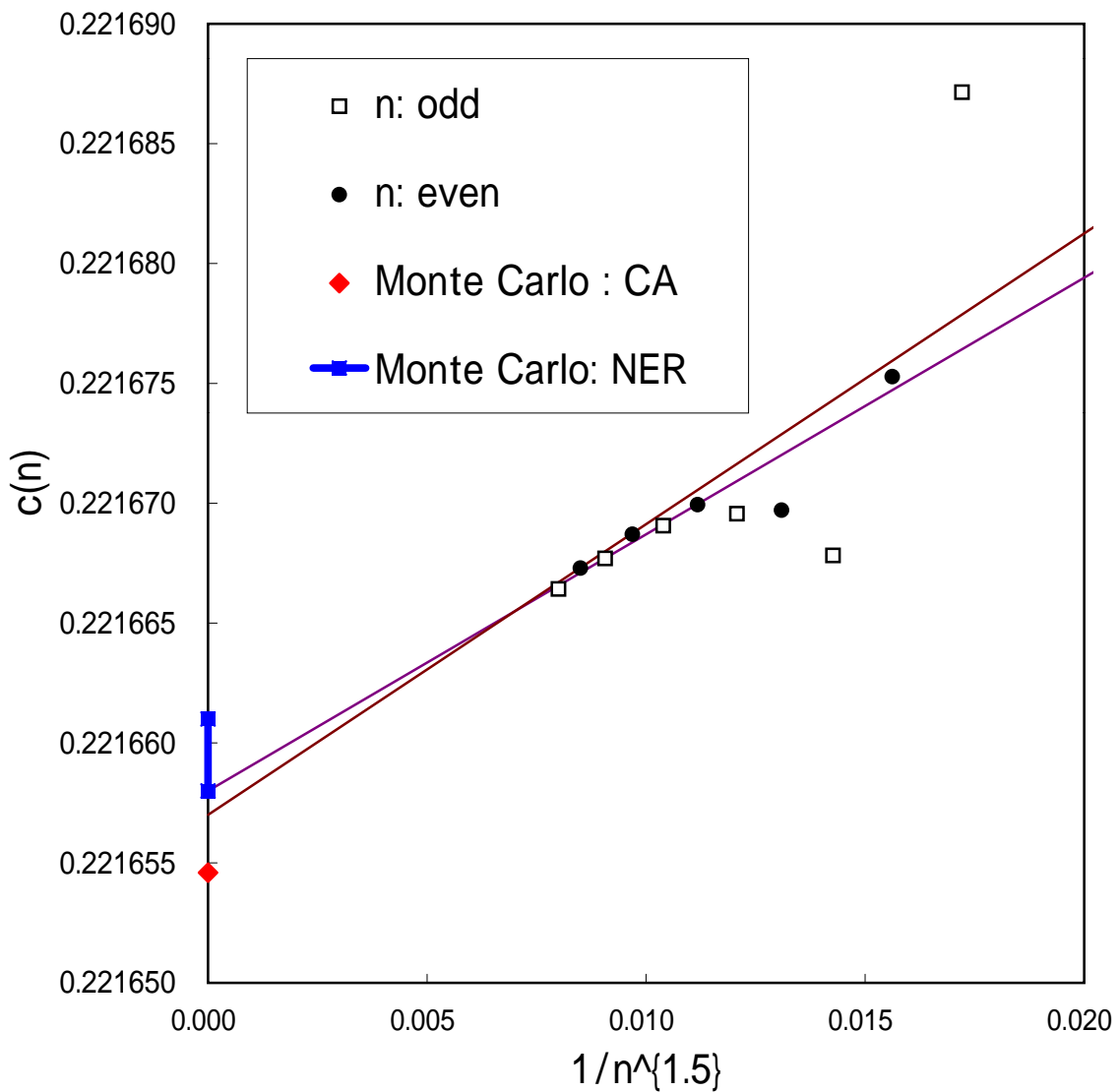
- 臨界点 β_c

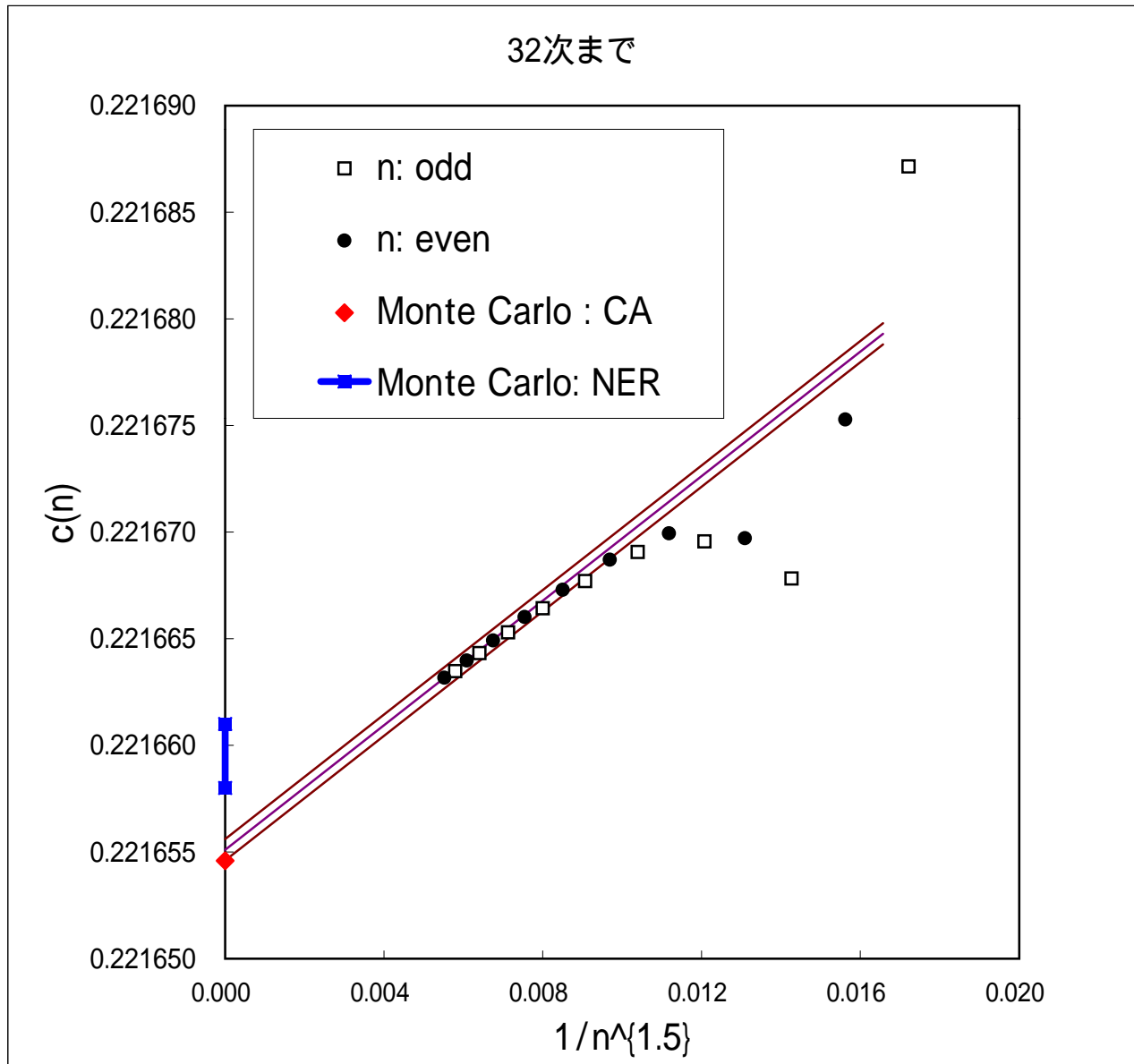
$$\begin{aligned} (\beta_c)_n &\equiv \left(\frac{a_{n-2}a_{n-3}}{a_n a_{n-1}} \right) \exp \left[\frac{(s_n + s_{n-2})}{2s_n(s_n - s_{n-2})} \right] \\ &\sim \beta_c + \frac{b}{n^{1+\Delta}} + \dots \end{aligned}$$

$$s_n = \left(\ln \left(\frac{a_{n-2}a_{n-3}}{a_n a_{n-1}} \right) + \ln \left(\frac{a_{n-2}a_{n-3}}{a_n a_{n-1}} \right) \right)$$

モンテカルロ	クラスター・アルゴリズム	0.2216546(1)
	非平衡緩和法	0.2216595(15)
	高温展開 ($N = 32$)	0.2216550(5)

25次まで



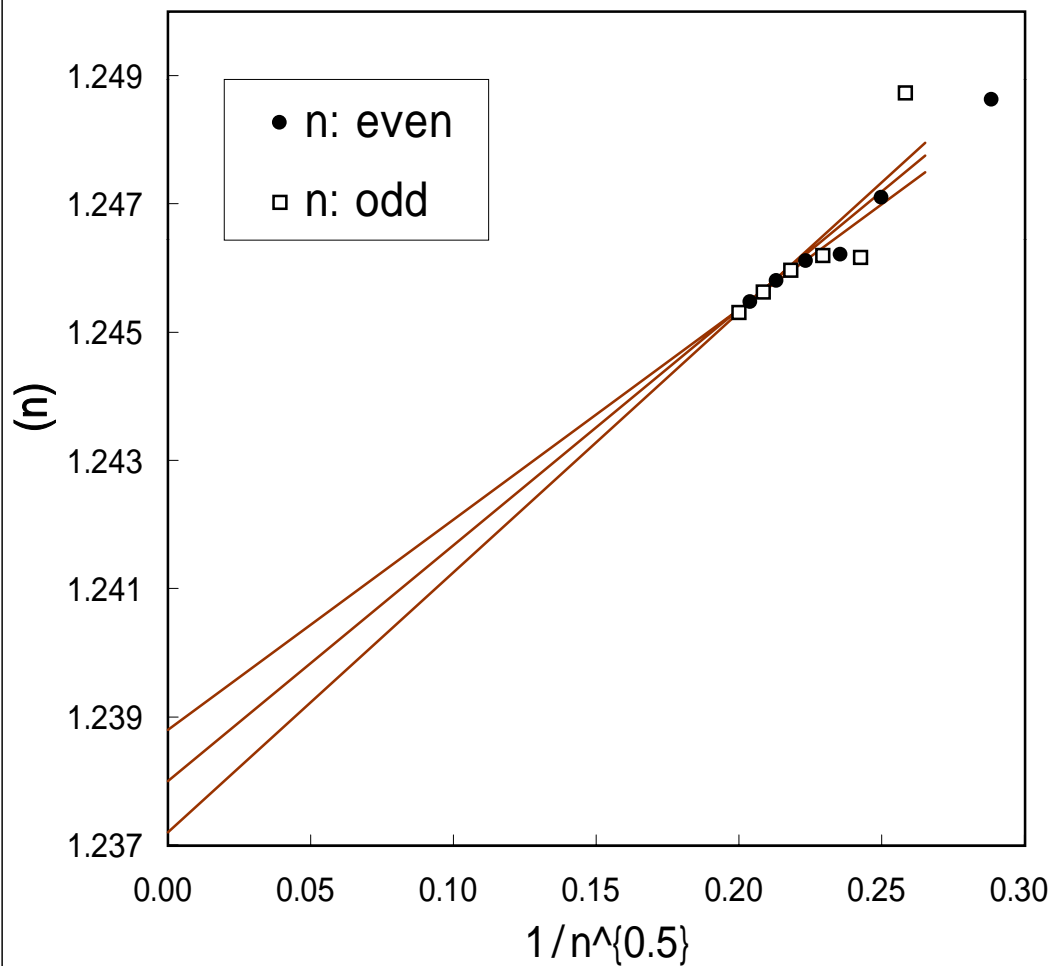


- 臨界指数 γ

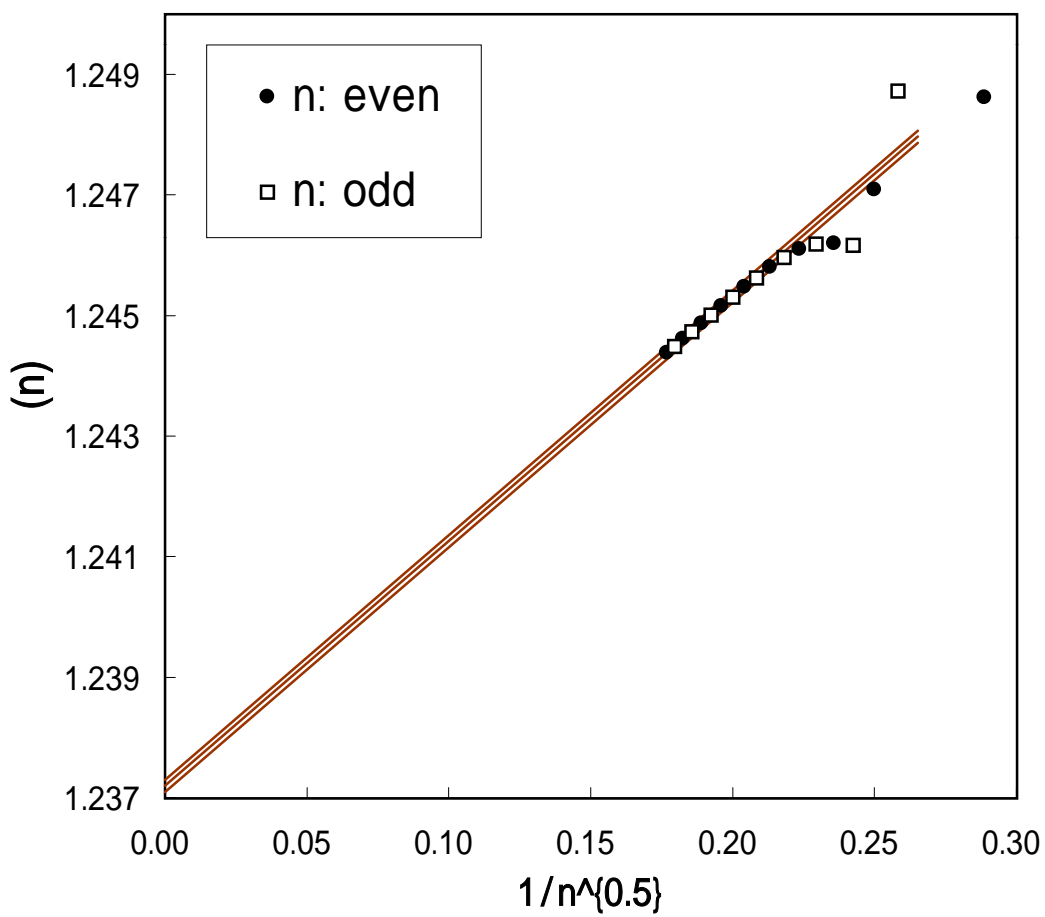
$$\begin{aligned}\gamma_n &\equiv 1 + \frac{2(s_n + s_{n-2})}{(s_n - s_{n-2})^2} \\ &\sim \gamma + \frac{b}{n^\Delta} + \dots\end{aligned}$$

高温展開	Ising model : 3 次	1.2372(1)
	generalized Ising model: 2 次	1.2373(2)
	perturbative RG	1.2396(13)
	ϵ -展開	1.2380(50)
	モンテカルロ (FSS)	1.2353(25)

25次まで



3 2次まで



- 比熱の臨界指数 α

$$\begin{aligned}
 C &= \beta^2 \frac{d^2 f}{d\beta^2} \\
 &\sim (\beta_c - \beta)^{-\alpha} [1 + \mu(\beta_c - \beta)^\Delta + \dots]
 \end{aligned}$$

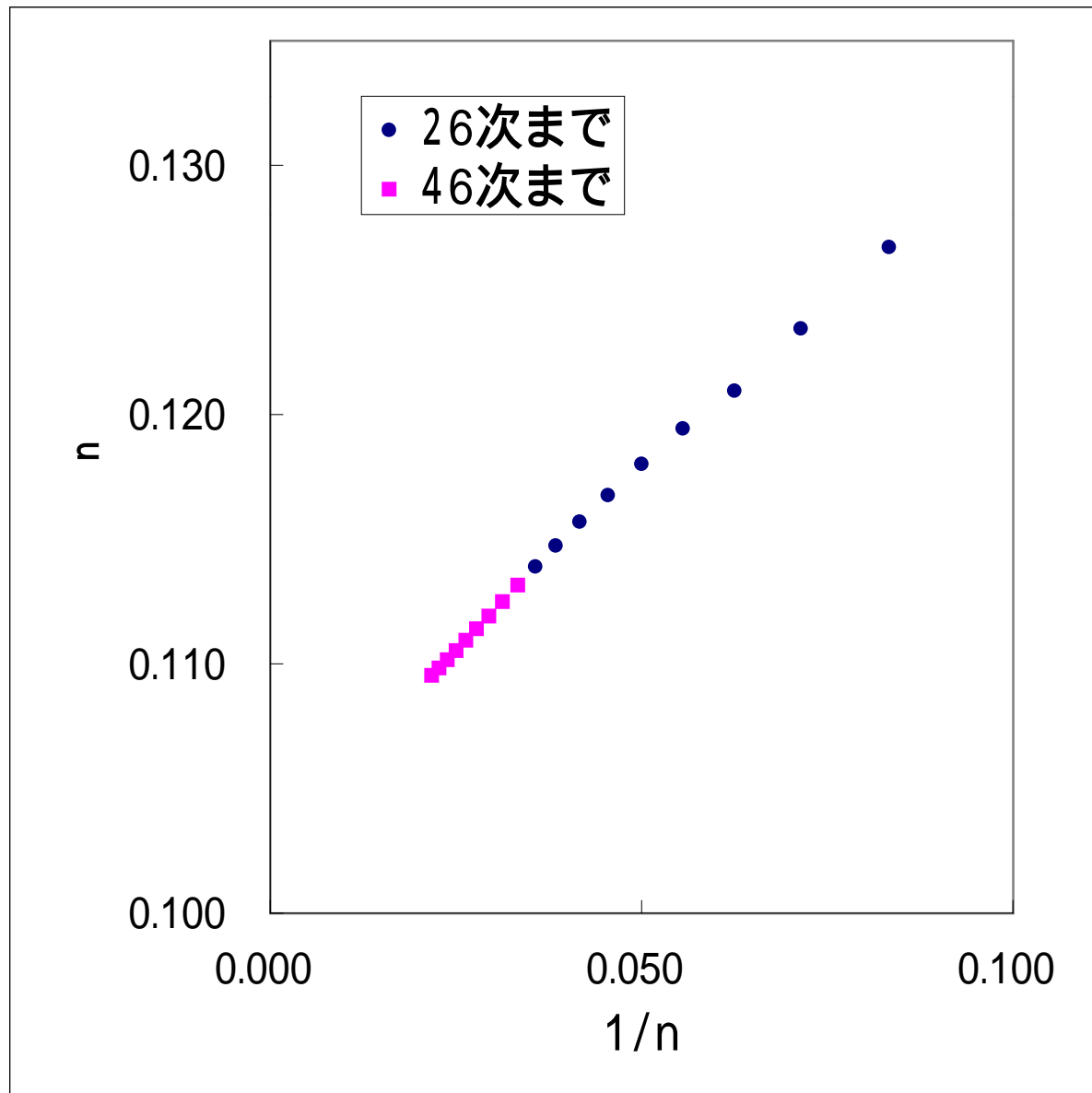
$\beta_c = 0.2216546(1)$: input
 $\Delta \sim 0.5$: confluent singularity

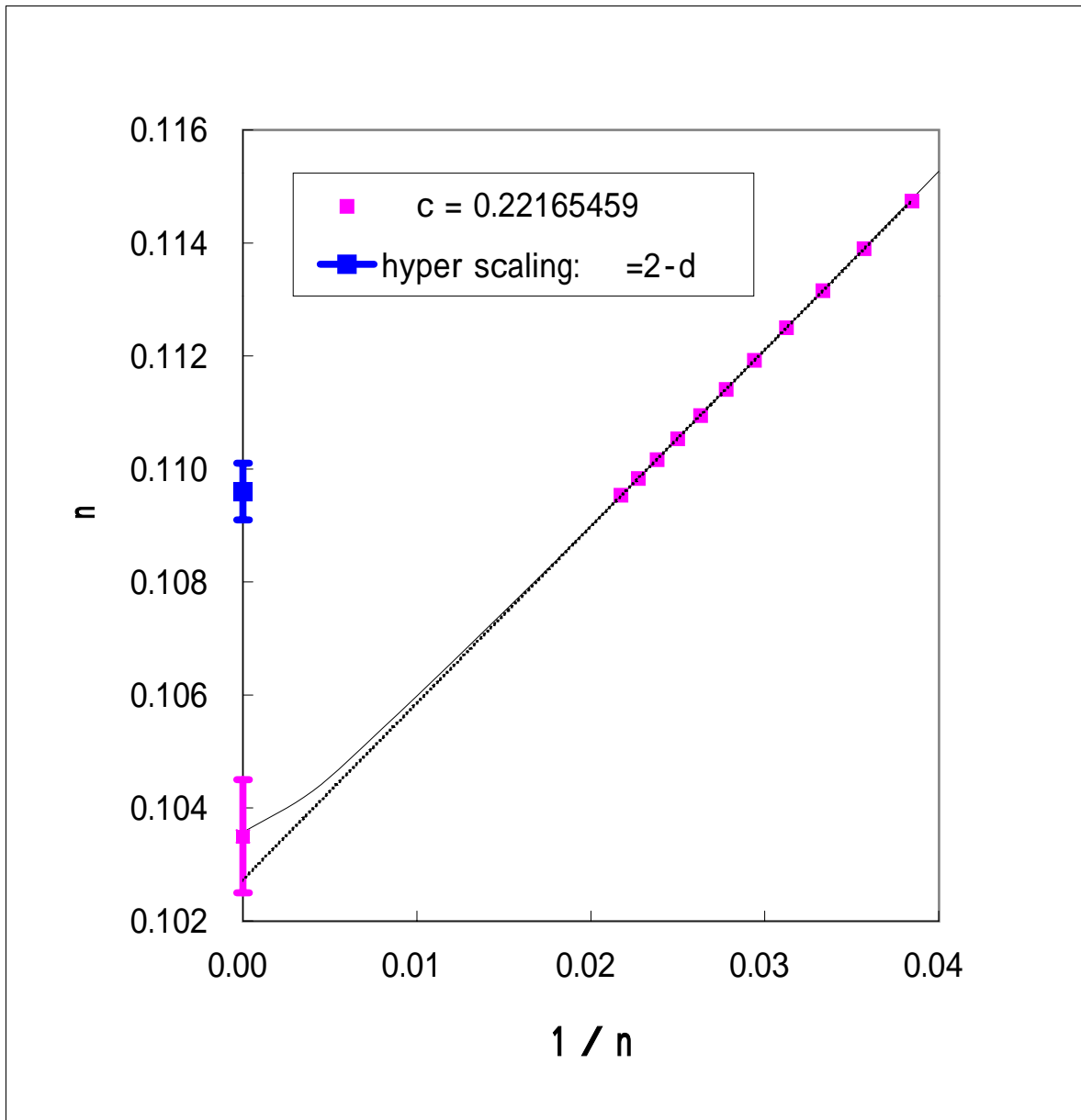
$$\begin{aligned}
 \alpha_n &\equiv [\beta_c^2 \frac{a_{2n}}{a_{2n-2}} - 1]n + 1 \\
 &\sim \alpha + \frac{b}{n^\Delta} + \frac{c}{n} + \dots
 \end{aligned}$$

	α
高温展開	0.1035 ± 0.0010
hyperscaling: $\alpha = 2 - d\nu$	0.1095 ± 0.0005
Monte Carlo	0.125 ± 0.025

$\nu = 0.63012(16) \cdots$ 2次モーメント相関距離の
高温展開 (generalized Ising model)

Campostrini et al. 2002





3. 有限格子法と新アルゴリズム

- 有限格子法 (非ダイアグラム法)

- $2(l_x + l_y + l_z) \leq N$ を満たす全ての有限サイズ格子の分配関数 $Z(l_x \times l_y \times l_z)$ を t^N の次数まで計算する.
- $\log Z(l_x \times l_y \times l_z)$ を t に関して Taylor 展開する.
- $\phi(l_x \times l_y \times l_z)$ を recursive に求める.

$$\begin{aligned} \phi(l_x \times l_y \times l_z) &= \log Z(l_x \times l_y \times l_z) \\ &- \sum_{\substack{l'_x \leq l_x, l'_y \leq l_y, l'_z \leq l_z \\ (l'_x, l'_y, l'_z) \neq (l_x, l_y, l_z)}} (l_x - l'_x + 1)(l_y - l'_y + 1)(l_z - l'_z + 1) \phi(l'_x \times l'_y \times l'_z) \end{aligned}$$

e.g.

$$\phi(1 \times 1 \times 1) = \log Z(1 \times 1 \times 1)$$

$$\phi(1 \times 1 \times 2) = \log Z(1 \times 1 \times 2) - 2 \phi(1 \times 1 \times 1)$$

...

Theorem :

$$\phi(l_x \times l_y \times l_z) = O(t^{2(l_x + l_y + l_z)})$$

- 自由エネルギー密度

$$f = \sum_{2(l_x + l_y + l_z) \leq N} \phi(l_x \times l_y \times l_z)$$

- 各サイズの分配関数 $Z(l_x \times l_y)$ は転送行列 (transfer matrix) の方法で計算する.

$$Z = V_{0i} V_{ij} V_{ik} \cdots V_{l0}$$

- 可能なあらゆる状態 $\{i\}$ について和をとる
 < … 従来のアルゴリズム

- 最大格子サイズ $l_x \sim l_y \sim l_z \sim N/6$
 $\leftarrow 2(l_x + l_y + l_z) \leq N$

- $\{i\}$ の状態数
 $\propto 2^{l_x} \sim \exp(cN) \leftarrow$ 2次元系
 $\propto 2^{l_x \times l_y} \sim \exp(c'N^2) \leftarrow$ 3次元系

有限格子法の新しいアルゴリズム

- 分配関数 $Z(l_x \times l_y \times l_z)$ に次数 t^N で寄与するボンド配位全体のうち, $\phi(l_x \times l_y \times l_z)$ に寄与するのは極一部だけである.
- 非対称模型を考える $t_x \neq t_y \neq t_z$

$\phi(l_x \times l_y \times l_z)$ の t_z について N_z 次まで正しい展開を得るには, $Z(l_x \times l_y \times l_z)$ は, z-方向 i 番目の layer の t_z の次数を n_i として

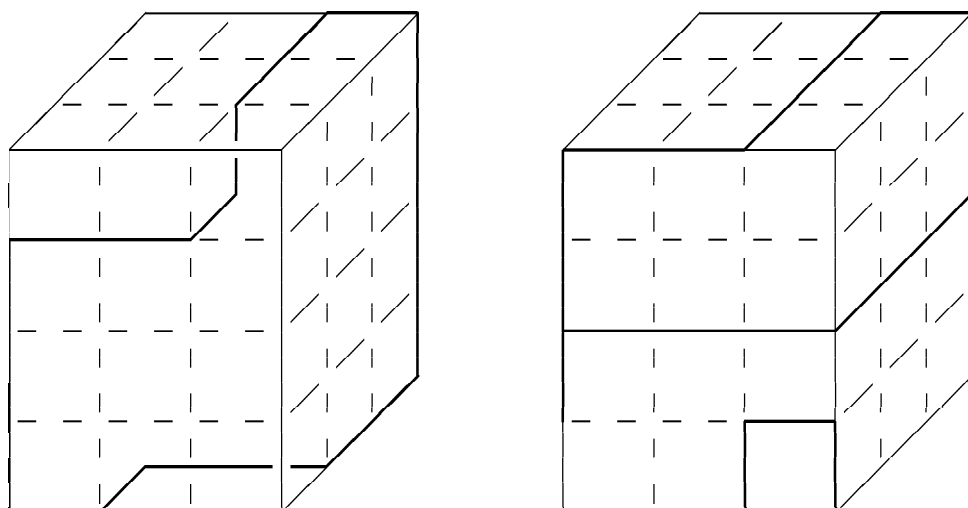
$$\sum_{i=1}^{l_z} \max(n_i, 2) \leq N_z$$

を満たす スピン配位についてだけ勘定すればよい.

e.g.

$2(l_x + l_y + l_z) = N$ を満たす格子では,

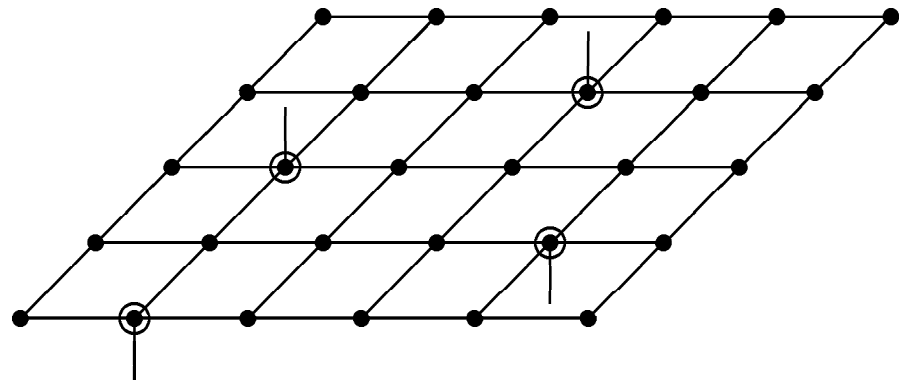
$$N_z = 2l_z \quad \rightarrow \quad n_i \leq 2 \quad (i = 1, \dots, l_z)$$



分配関数

$$Z = V_{0,2} \ V_{2,2} \ \cdots \ V_{2,2} \ V_{2,0}$$

転送行列 $V_{2,2}$ は



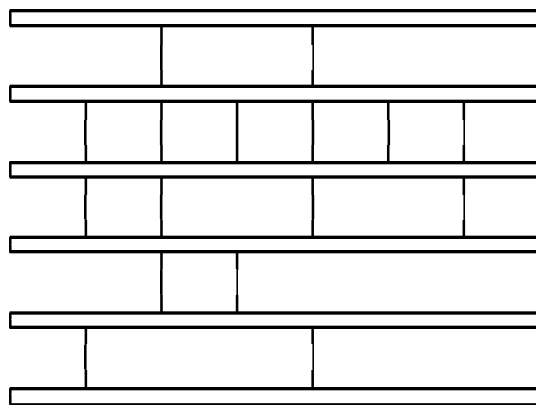
- ・最大格子サイズ $l_x \sim l_y \sim l_z \sim N/6$
- ・転送行列の計算量

$$\propto C(l_x \ l_y, \ 4) \ 2^{l_x} \sim \exp(cN)$$

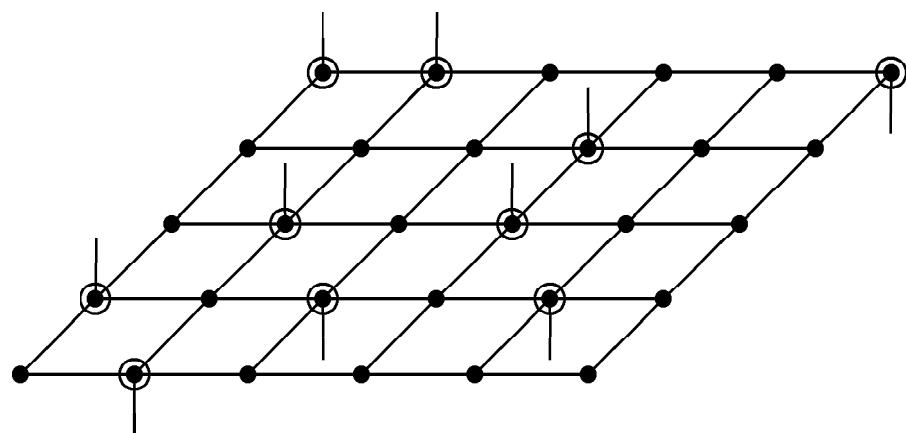
4. CP-PACSでの計算

● 手順

- $Z = V_{0i}V_{ij}V_{jk} \cdots V_{l0}$



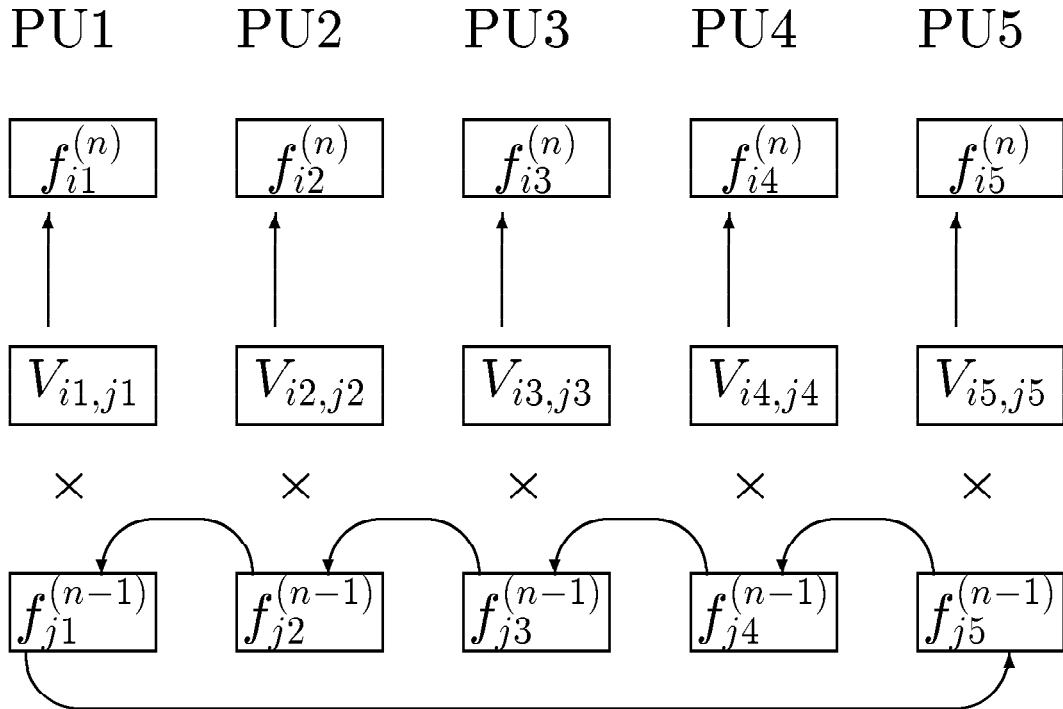
- 行列積 $f_i^{(n)} = V_{ij}f_j^{(n-1)}$
- 行列要素 $V_{i,j}$



● 並列化

- 行列積 $f_i^{(n)} = V_{ij} f_j^{(n-1)}$

$f_i^{(n)}, f_j^{(n-1)}$ の分散配置

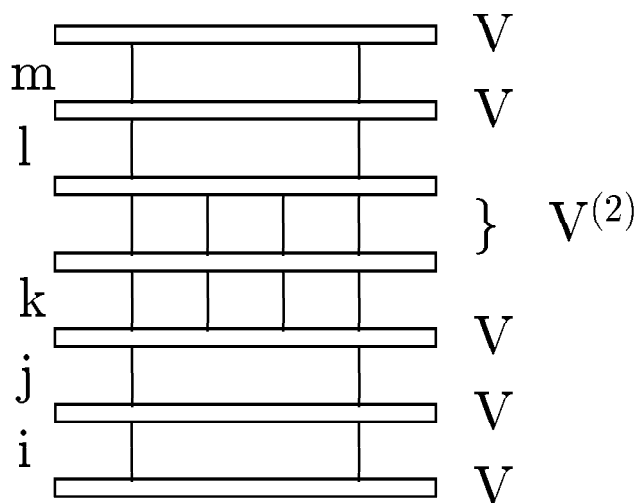
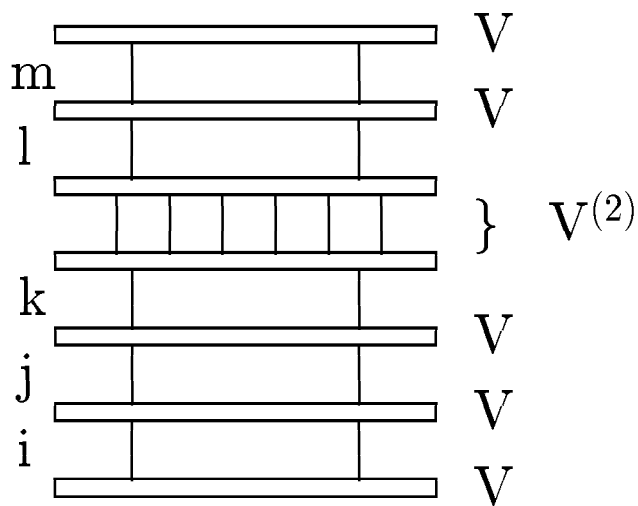


- 行列要素 $V_{i,j}$
 - 各要素は 1PU 上で計算可能 ($\sim 100KB$)
- $f_j^{(n-1)}$ の PU 間転送が bottleneck !

● 2層行列要素の導入

e.g. 自由エネルギー $N = 50$

断面 6×7

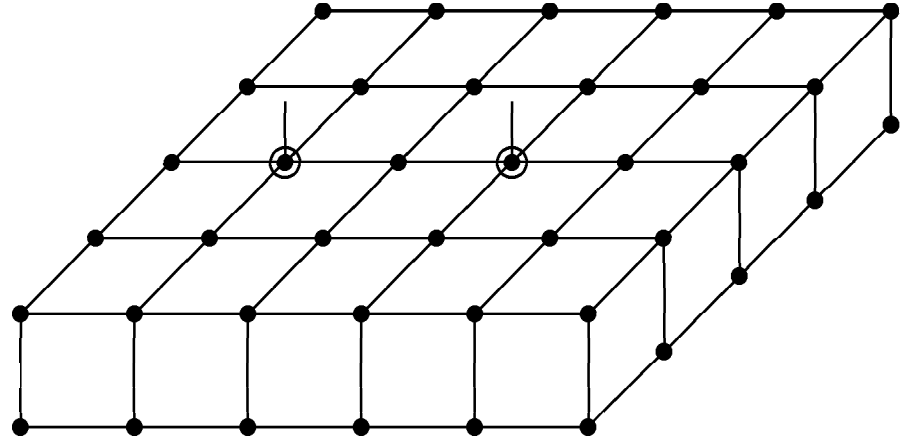


$$Z = V_{0i} V_{ij} V_{jk} V_{kl}^{(2)} V_{lm} V_{m0} = \sum_k f_k \tilde{f}_k$$

$$f_k = V_{jk} V_{ji} V_{i0}$$

$$\tilde{f}_k = V_{kl}^{(2)} V_{lm} V_{m0}$$

- 2層行列要素 $V^{(2)}$



- 必要メモリ

- 自由エネルギー

$$2^{2l_x} N_x N_y \times 16 \sim 1 \text{ OMB} \text{ (for } N = 50\text{)}$$

- 各要素は 1PU 上で計算可能

- 帯磁率

$$2^{2l_x} N_x N_y \times 16 \times 4$$

$$\sim 200 \text{ MB} \text{ (for } N = 38\text{)}$$

- 各要素は 1PU 上で計算可能？

5. まとめと展望

- スピン統計系の高温展開を求める有限格子法の新アルゴリズムを用いて、3次元イジング模型の高温展開の次数を大幅に拡張することができる。
- 非並列計算機でも、すでに大幅な拡張と物理的成果が得られている。
超並列計算機によって、一段の拡張が期待できる。
- 他の物理量の高温展開にも適用可能：
e.g. – 相関距離 (mass gap)
– 2次モーメント相関距離
- 連續対称性を持った系の高温展開にも適用可能：
e.g. X-Y 模型
(液体 He の λ 転移における比熱の臨界指数
無重力実験： $\alpha = -0.01056(38)$)
- 3次元スピン系の低温展開にも適用可能